




Evolución tomográfica de paciente con COVID-19.

Autores

Farfán-Cano Harold Reynaldo ^a, , Farfán-Cano Stanley Guillermo ^{a,b}, , Bonilla-Crespín Richard Andrés ^c, 

Afiliación institucional

a. Universidad de Guayaquil, Guayaquil-Ecuador.

b. Universidad Rey Juan Carlos, Madrid-España

c. Universidad Católica de Santiago de Guayaquil, Guayaquil-Ecuador.

Identificación de la responsabilidad y contribución de los autores

Los autores declaran haber contribuido de forma similar en la idea original, diseño del

estudio, recolección de dato, análisis de datos, redacción del borrador y redacción del artículo.

Correspondencia

Harold Reynaldo Farfán Cano, Guayaquil-Ecuador, harold.farfanc@ug.edu.ec

Fecha de envío: 30/04/2020

Fecha de aprobación: 30/03/2022

Fecha de publicación: 05/04/2022

Fuente de financiamiento

Los autores no recibieron fondos específicos para este trabajo.

Conflicto de interés

Los autores declaran no tener conflictos de interés con la publicación de este artículo.

Resumen

Detalle de la progresión radiológica de un paciente desde la confirmación de la exposición hasta su desenlace en la unidad de terapia intensiva por el COVID-19.

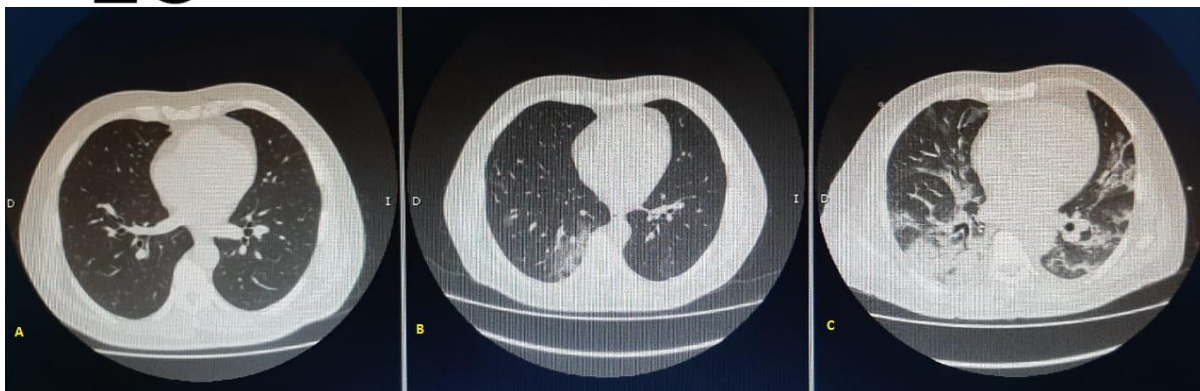
Palabras clave: COVID-19; SARS-CoV-2; Neumonía Viral;

Tomographic evolution of a COVID-19 patient

Abstract

Detail of the radiological progression of a patient from confirmation of exposure to outcome in the intensive care unit by COVID-19.

Keywords: COVID-19; SARS-CoV-2; Pneumonia, Viral;



En la imagen se evidencia la evolución tomográfica de un paciente de sexo masculino de 71 años, de raza mestiza, con antecedentes de pre-obesidad (IMC 29.9), obesidad central (perímetro abdominal 110 cm), diabetes mellitus (controlado con metformina, A₁C 5.70%); valorado el 02 de abril de 2020, sin presentar síntomas compatibles con infección respiratoria aguda en institución de salud, por contacto con pacientes con COVID-19 (hijo y esposa), se le realizó tomografía (imagen A) sin alteraciones reportadas.

El 07 de abril, debido a la aparición de fiebre (40°C) y malestar general, de 48 horas de evolución, se solicitó tomografía de control (imagen B) observándose opacidades en vidrio deslustrado de distribución periférica en ambos campos pulmonares, infiltrado alveolar basal posterior derecho, engrosamiento en la trama peribroncovascular, bronquiectasias cilíndricas parahiliares, en ventana mediastínica incremento en el número y tamaño de ganglios a nivel de la carina, calcificación aislada en cayado aórtico, compatible con patrón de covid-19 leve; se instaura esquema con hidroxicloloroquina, azitromicina, paracetamol y suero oral; paciente intercurrió con deshidratación, se canalizo vía endovenosa y mantuvo manejo domiciliario.

El 11 de abril presento vómito bilioso y desaturación por oximetría de pulso (95 a 80%) en domicilio, por lo cual fue trasladado al hospital de referencia, donde se instaura oxigenoterapia y se decide su ingreso; se solicitó imagen de control (Imagen C) donde se evidencia un patrón intersticioalveolar y áreas de vidrio esmerilado y aumento de tamaño de la silueta cardíaca, compatibles con COVID-19 severo; posteriormente requirió entubación orotraqueal, completo 24 horas en emergencia y fue trasladado a terapia intensiva. Paciente fallece a los 8 días de su internación (7 en terapia intensiva) sin control imagenológico (radiográfico o tomográfico). El diagnóstico de COVID-19 POR PCR-RT fue confirmado a las 2 semanas posteriores al fallecimiento.

El realizar una tomografía de tórax es importante para establecer el grado de severidad de un paciente, el contar con un seguimiento radiológico adecuado permitirá valorar la adecuada evolución, las imágenes radiológicas son una de las ayudas diagnósticas más relevantes, que permiten orientar no solo al diagnóstico, sino también a las intervenciones sociales y terapéuticas (distanciamiento, aislamiento o tratamiento). (1,2)

Referencias.

1. Rogalska-Płońska M, Kuźmich A, Łapiński TW, Flisiak R. Computed tomography changes in lungs of COVID-19 patients. *Polish Archives of Internal Medicine*. 2020; <https://doi.org/10.20452/pamw.15363>.
2. Yang B, Wang L, Xu G, Duan W, Zhang F, Cui C, et al. Computed tomography findings in a case of coronavirus disease 2019. *Radiology of Infectious Diseases*. 2020;7(2): 81–83. <https://doi.org/10.1016/j.jrid.2020.05.002>.

Dedicatoria: A la memoria de Stanley Guillermo Farfán Calero.

Aspectos éticos: Dado que el paciente falleció, se cuenta con el consentimiento informado de la cónyuge e hijos para el uso de imágenes.

Nota: Conforme la política interna de la editorial lo permite, y por decisión propia de los autores, la revisión gramatical en lengua española de la versión de publicación fue validada por los mismos, quienes se responsabilizan de la integridad, falta de errores, y versión final del artículo.